

## 7.7 均匀平面电磁波的垂直入射

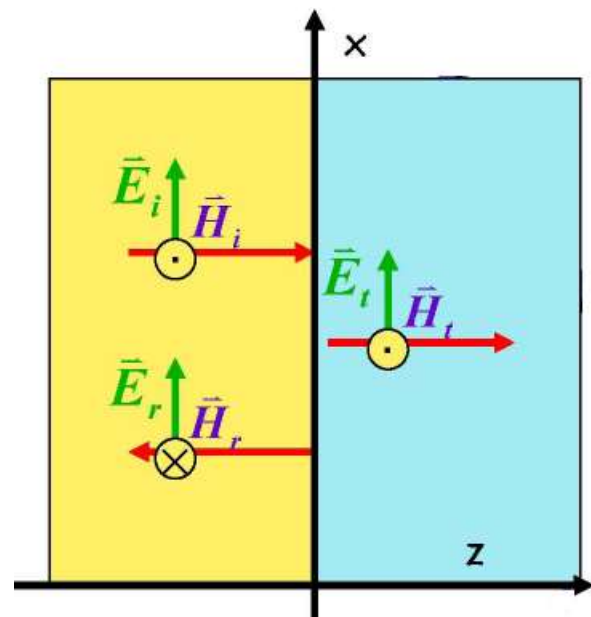
- 讨论均匀平面波垂直入射到两种不同媒质分界平面上的情况
- 假定不同媒质的分界面是无限大的平面，界面两侧媒质都是均匀的、线性的、各向同性的。

**传输方向：**

**由Snell定律**  $\Rightarrow \theta_i = \theta_r = \theta_t = 0$

**振幅大小：**

入射面不确定，无垂直极化和平行极化之分



对于任意极化的入射波，可分解成两个互相垂直的线极化波的叠加，因此这里只研究线极化波入射的情况。

# 一、对理想介质分界面的垂直入射

入射波：设沿 $+z$ 传播，分界面为 $z = 0$ 的平面

将 $\vec{E}_i$ 的方向设为 $\vec{e}_x$

$$\vec{E}_i(z) = \vec{e}_x E_{i0} e^{-j\beta_1 z}, \vec{H}_i(z) = \vec{e}_y \frac{E_{i0}}{\eta} e^{-j\beta_1 z}$$

反射波：设沿 $-z$ 传播

$$\vec{E}_r(z) = \vec{e}_x E_{r0} e^{j\beta_1 z}, \vec{H}_r(z) = -\vec{e}_y \frac{E_{r0}}{\eta} e^{j\beta_1 z}$$

透射波：设沿 $+z$ 传播

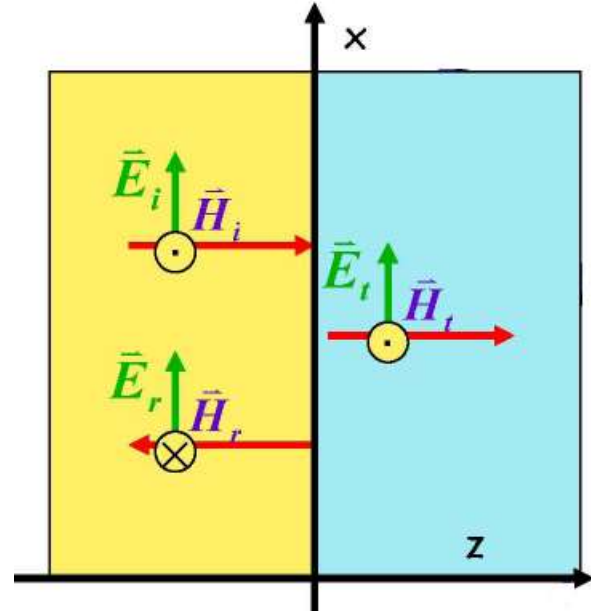
$$\vec{E}_t(z) = \vec{e}_x E_{t0} e^{-j\beta_2 z}, \vec{H}_t(z) = \vec{e}_y \frac{E_{t0}}{\eta_2} e^{-j\beta_2 z}$$

推出媒质1中：

$$\begin{aligned} \vec{E}_1 &= \vec{E}_i + \vec{E}_r = \vec{e}_x E_{i0} (e^{-j\beta_1 z} + R e^{+j\beta_1 z}) \\ &= \vec{e}_x E_{i0} \left[ (1 + R) e^{-j\beta_1 z} + R (e^{j\beta_1 z} - e^{-j\beta_1 z}) \right] \end{aligned}$$

$$\Rightarrow \vec{E}_1 = \vec{e}_x E_{i0} \left[ (1 + R) e^{-j\beta_1 z} + j2R \sin(\beta_1 z) \right]$$

$$\Rightarrow \vec{H}_1 = \vec{e}_y \frac{E_{i0}}{\eta} \left[ (1 + R) e^{-j\beta_1 z} - 2R \cos(\beta_1 z) \right]$$



推出媒质2中：

$$\begin{cases} \vec{E}_2 = \vec{E}_t = \vec{e}_x T E_{i0} e^{-j\beta_2 z} \\ \vec{H}_2 = \vec{H}_t = \vec{e}_y \frac{T}{\eta_2} E_{i0} e^{-j\beta_2 z} \end{cases}$$

$$\Rightarrow R = \frac{\eta_2 - \eta_1}{\eta_2 + \eta_1} \quad T = \frac{2\eta_2}{\eta_2 + \eta_1}$$

$$\text{且 } R + 1 = T$$

特点:

(1) 媒质2中透射波仍为单向传播的行波

(2) 媒质1中合成波为行驻波（或称混和波），即有固定的波节点和波腹点，但波节点处振幅不为0。

$$\because \vec{E}_1 = \vec{E}_i + \vec{E}_r = \vec{e}_x E_{i0} (e^{-j\beta_1 z} + R e^{+j\beta_1 z}) = \vec{e}_x E_{i0} e^{-j\beta_1 z} (1 + R e^{+j2\beta_1 z}), \text{ 且 } R = \frac{\eta_2 - \eta_1}{\eta_2 + \eta_1}$$

$$|\vec{E}_1| = |E_{i0}| |1 + R e^{j2\beta_1 z}| = |E_{i0}| (1 + R^2 + 2R \cos 2\beta_1 z)^{1/2}$$

(a)  $\eta_2 > \eta_1$  时,  $R > 0$

$$\Rightarrow |\vec{E}_1|_{\max} = |E_{i0}| (1 + R)$$

$$\text{此时 } 2\beta_1 z = -2n\pi$$

$$z_{\max} = -\frac{n\pi}{\beta_1} = -n \frac{\lambda_1}{2} (n = 0, 1, 2, \dots)$$

波腹点

$$\Rightarrow |\vec{E}_1|_{\min} = |E_{i0}| (1 - R)$$

$$\text{此时 } 2\beta_1 z = -(2n+1)\pi$$

$$z_{\min} = -\frac{(2n+1)\pi}{2\beta_1} = -(2n+1) \frac{\lambda_1}{4} (n = 0, 1, 2, \dots)$$

波节点

(b)  $\eta_2 < \eta_1$  时,  $R < 0$ , 反之

同理可求得 $H_1$ 的波腹点和波节点与 $E$ 的波腹点和波节点位置刚好相反。

**驻波比：定义为驻波电场强度振幅最大值和最小值的比值**

$$\rho = \frac{|E|_{\max}}{|E|_{\min}} = \frac{1+|R|}{1-|R|} \Rightarrow |R| = \frac{\rho-1}{\rho+1}$$

**反映了行驻波状态的驻波成分大小**

$|R| = 0, \rho = 1$ , 行波状态, 无反射

$|R| = 1, \rho = \infty$ , 纯驻波状态, 全反射

$0 < |R| < 1, 1 < \rho < \infty$ , 行驻波状态, 部分反射

**电磁功率关系**

$$\therefore \vec{S}_{iav} = \vec{e}_z \frac{|E_{i0}|^2}{2\eta_1} \quad \therefore \vec{S}_{rav} = -\vec{e}_z \frac{|E_{r0}|^2}{2\eta_1} = -\vec{e}_z \frac{|E_{i0}|^2}{2\eta_1} |R|^2$$

$$\therefore \vec{S}_{tav} = \vec{e}_z \frac{|E_{t0}|^2}{2\eta_2} = \vec{e}_z \frac{|E_{i0}|^2}{2\eta_2} |T|^2$$

$$\Rightarrow S_{rav} + S_{tav} = S_{iav}$$

**说明反射功率与透射功率之和等于入射波的功率，符合能量守恒。**

## 二、对理想导体表面的垂直入射

假设媒质1为理想介质，媒质2为理想导体

$$\gamma_1 = 0, \eta_1 = \sqrt{\frac{\mu_1}{\epsilon_1}} \text{为实数}, \gamma_2 = \infty, \eta_2 = \sqrt{\frac{\mu_1}{\epsilon_1 - j\gamma/w}} = 0$$

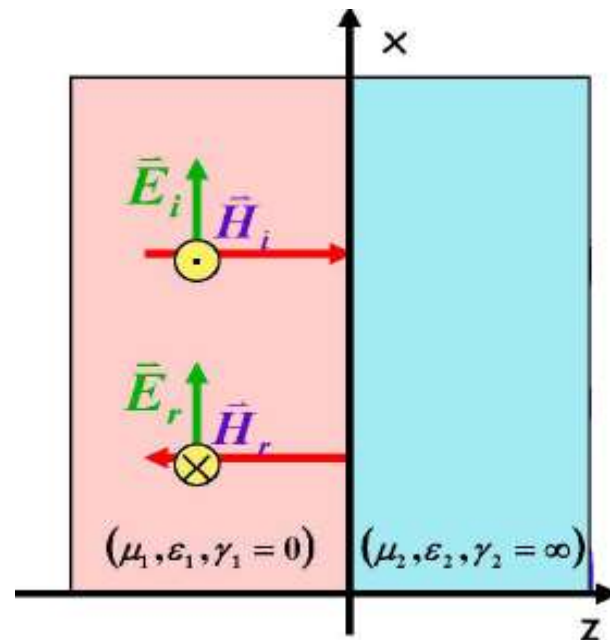
无透射波，即全反射，

由电场边界条件得  $E_{rm} = -E_{im}$

(规定正方向下，反射波

和入射波的复振幅)

$$\Rightarrow \begin{cases} R = -1 \\ T = 0 \end{cases}$$



合成波的电磁场为：

$$\vec{E}_1 = \vec{e}_x E_{i0} \left( (1 + R) e^{-j\beta_1 z} + j2R \sin(\beta_1 z) \right) = \vec{e}_x E_{i0} (-j2 \sin(\beta_1 z))$$

$$\vec{H}_1 = \vec{e}_y \frac{E_{i0}}{\eta} \left( (1 + R) e^{-j\beta_1 z} - 2R \cos(\beta_1 z) \right) = \vec{e}_y \frac{2E_{i0}}{\eta} \cos(\beta_1 z)$$

瞬时形式为：

$$\vec{E}_1(z, t) = \text{Re}[\dot{\vec{E}}_1 e^{j\omega t}] = \vec{e}_x 2 |E_{i0}| \sin(\beta_1 z) \sin(\omega t + \varphi_i)$$

$$\vec{H}_1 = \text{Re}[\dot{\vec{H}}_1 e^{j\omega t}] = \vec{e}_y \frac{2 |E_{i0}|}{\eta} \cos(\beta_1 z) \cos(\omega t + \varphi_i)$$

令  $\varphi_i = 0 \Rightarrow$

$$\vec{E}_1(z, t) = \vec{e}_x 2 |E_{i0}| \sin(\beta_1 z) \sin(\omega t)$$

$$\vec{H}_1 = \vec{e}_y \frac{2 |E_{i0}|}{\eta} \cos(\beta_1 z) \cos(\omega t)$$

- 对任意时刻  $t$  在  $\beta z = -n\pi$  or  $z = -n \frac{\lambda}{2} (n = 0, 1, 2, \dots)$  电场皆为零。
- 对任意时刻  $t$  在  $\beta z = -(2n+1) \frac{\pi}{2}$  or  $z = -(2n+1) \frac{\lambda}{4} (n = 0, 1, 2, \dots)$  磁场皆为零。

$$\omega t = 0$$

$$\omega t = \frac{\pi}{4}$$

$$\omega t = \frac{\pi}{2}$$

$$\omega t = \frac{3\pi}{4}$$

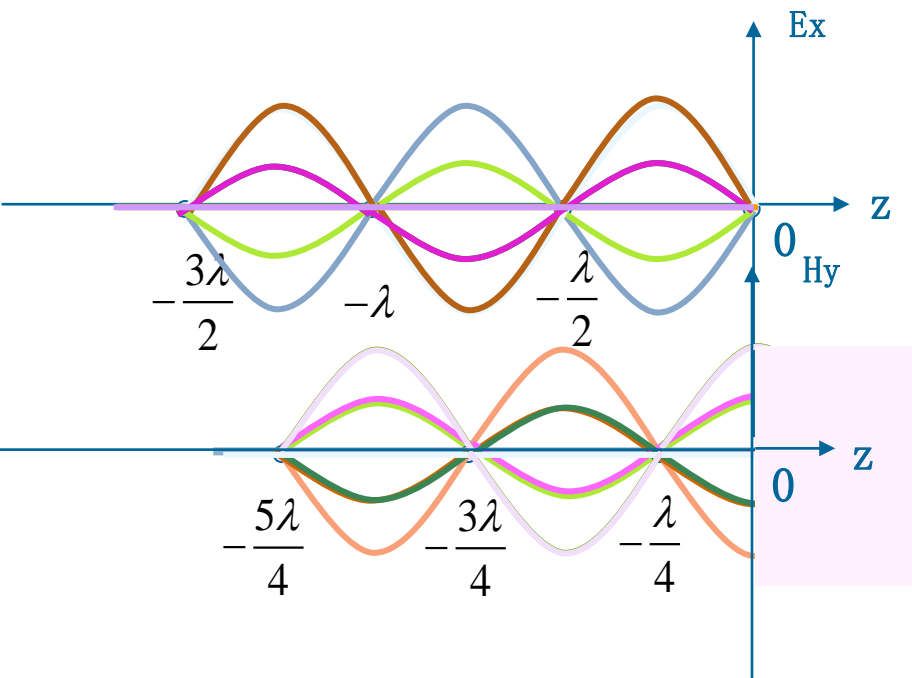
$$\omega t = \pi$$

$$\omega t = \frac{5\pi}{4}$$

$$\omega t = \frac{3\pi}{2}$$

$$\omega t = \frac{7\pi}{4}$$

$$\omega t = 2\pi$$



- 两个振幅相等、传播方向相反的行波合成的结果形成驻波。

- 在给定时刻  $t$  电场和磁场随距离作正弦变化。

$$\vec{E}_1(z, t) = \vec{e}_x 2 |E_{i0}| \sin(\beta_1 z) \sin(\omega t)$$

$$\vec{H}_1 = \vec{e}_y \frac{2 |E_{i0}|}{\eta} \cos(\beta_1 z) \cos(\omega t)$$

边界上  $E = 0$  和  $H = H_{max}$

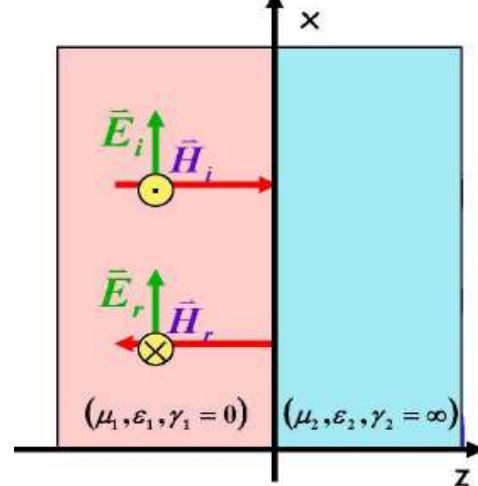
为满足边界条件，理想导体表面上会有  $x$  方向的感应电流

$$\vec{J}_s = \vec{e}_n \times (\vec{H}_2 - \vec{H}_1) |_{z=0} = (\vec{e}_z) \times \left( 0 - \vec{e}_y \frac{2E_{i0}}{\eta} \cos(\omega t) \right) = \vec{e}_x \frac{2E_{i0}}{\eta} \cos(\omega t)$$

$$\dot{\vec{J}}_s = \vec{e}_x \frac{2\dot{E}_{i0}}{\eta}$$

驻波不传输电磁能量，只存在能量转换

$$\begin{aligned} \bar{S}_{av} &= \frac{1}{2} \text{Re}[\vec{E} \times \vec{H}^*] = \frac{1}{2} \text{Re} \left[ \vec{e}_x (-j2E_{i0} \sin \beta z) \times \vec{e}_y \frac{2E_{i0}^*}{\eta} \cos \beta z \right] \\ &= \frac{1}{2} \text{Re} \left[ \vec{e}_z \left( -j \frac{2|E_{i0}|}{\eta} \sin 2\beta z \right) \right] = 0 \end{aligned}$$



$$\vec{E}_1 = \vec{e}_x E_{i0} (-j2 \sin(\beta_1 z))$$

$$\vec{H}_1 = \vec{e}_y \frac{2E_{i0}}{\eta} \cos(\beta_1 z)$$

### 三、对良导体表面的垂直入射

假设媒质1为理想介质，媒质2为良导体

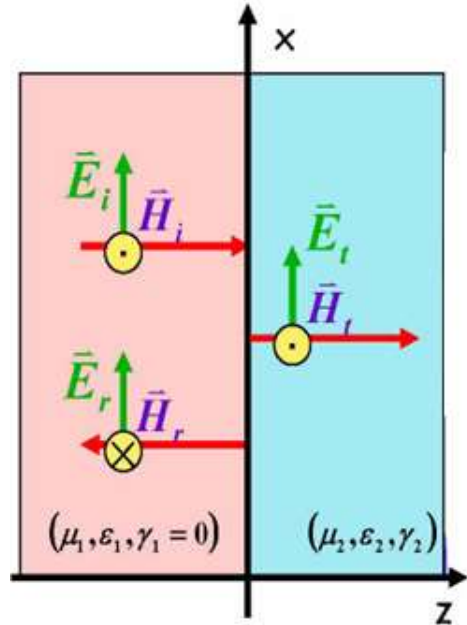
$$\gamma_1 = 0, \eta_1 = \sqrt{\frac{\mu_1}{\epsilon_1}} \text{为实数}, \gamma_2 \neq \infty, \eta_2 = \sqrt{\frac{\mu_2}{\epsilon_2 - j\gamma_2/w}} = \eta_c \text{为复数}$$

$$R = \frac{\eta_2 - \eta_1}{\eta_2 + \eta_1}, T = \frac{2\eta_2}{\eta_2 + \eta_1} \text{均为复数}$$

分界面上的反射和透射将引入一个附加的相移

$$\gamma_2 \uparrow, \frac{\gamma_2}{w\epsilon} \uparrow, \Rightarrow |\eta_2| \downarrow \Rightarrow |R| \uparrow \text{ 且 } |T| \downarrow$$

$$\begin{aligned}\vec{E}_t &= \vec{e}_x E_{t0} e^{-\alpha z} e^{-j\beta z} \\ \vec{H}_t &= \vec{e}_y H_{t0} e^{-\alpha z} e^{-j\beta z}\end{aligned}$$



对于良导体，透射波磁场的复振幅近似等于

入射波磁场复振幅的2倍  $H_{t0} \approx 2H_{i0}$

$$\text{良导体中: } \alpha \approx \sqrt{\frac{w\mu\gamma}{2}} = \sqrt{\pi f\mu\gamma}$$

**特点：**媒质1中为行驻波，媒质2中为衰减的行波， $\gamma_2 \uparrow, \alpha \uparrow$ , 衰减越快

**趋肤效应：**良导体中电磁波及其产生的电流只存在于其表面的现象

**趋肤深度 $\delta$ ：**电磁波场强的振幅衰减到表面值的1/e所经过的距离

$$e^{-\alpha\delta} = \frac{1}{e} \Rightarrow \delta = \frac{1}{\alpha}$$

$$\text{良导体中: } \delta = \frac{1}{\alpha} \approx \frac{1}{\sqrt{\pi f\mu\gamma}} = \sqrt{\frac{2}{w\mu\gamma}}$$



$$\text{良导体中: } \delta = \frac{1}{\alpha} \approx \frac{1}{\sqrt{\pi f \mu \gamma}} = \sqrt{\frac{2}{\omega \mu \gamma}}$$

$f \uparrow \delta \downarrow$ , 趋肤效应越显著

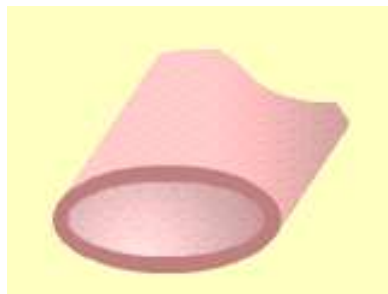
例如: 银的电导率 $\gamma=6.15 \times 10^7 \text{s/m}$ , 铜的电导率 $\gamma=1.59 \times 10^7 \text{s/m}$

$f = 3\text{GHz}$ , 银 $\delta = 1.17 \mu\text{m}$ , 黄铜 $\delta = 2.30 \mu\text{m}$

$f = 1\text{MHz}$ , 银 $\delta = 0.064\text{mm}$ , 黄铜 $\delta = 0.126\text{mm}$

$f = 1\text{kHz}$ , 银 $\delta = 2.03\text{mm}$ , 黄铜 $\delta = 3.98\text{mm}$

$f = 60\text{Hz}$ , 银 $\delta = 8.3\text{mm}$ , 黄铜 $\delta = 16.3\text{mm}$



应用:

1、可屏蔽电磁波

2、微波元器件常用黄铜制成,但在内表面上镀几个微米厚的银层,可减小损耗,增加元器件内壁上的导电性能。

注意: 直流没有趋肤效应

**表面阻抗：**定义为导体表面上单位长度的电压复振幅 $U$ 与单位宽度上的电流复振幅 $I$ 之比。

**良导体中的透射波：**

$$\vec{E}_t = \vec{e}_x E_{t0} e^{-\alpha z} e^{-j\beta z}$$

$$\vec{H}_t = \vec{e}_y H_{t0} e^{-\alpha z} e^{-j\beta z}$$

**对于长为1，宽为1，厚度为 $\infty$ 的一块导体**

$$Z_s = \frac{U}{I} = \frac{\int \vec{E}_t \cdot d\vec{l}}{\int \vec{J} \cdot d\vec{S}} \quad \because \vec{J} = \gamma \vec{E}_t = \vec{e}_x \gamma \eta_c H_{t0} e^{-\alpha z} e^{-j\beta z} = \vec{e}_x \gamma \eta_c H_{t0} e^{-\Gamma z}$$

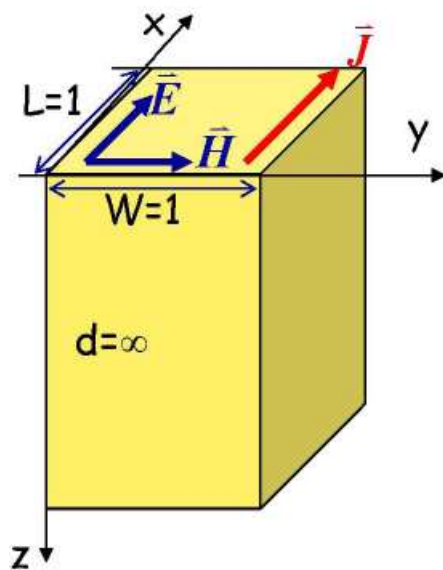
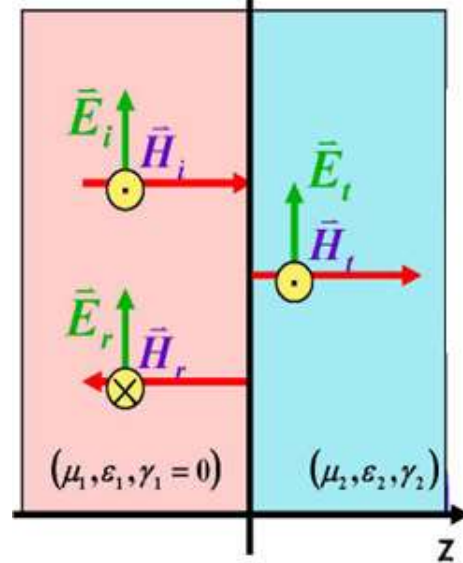
$$\int \vec{J} \cdot d\vec{S} = \gamma \eta_c H_{t0} \int_0^\infty e^{-\Gamma z} dz = \frac{\gamma \eta_c H_{t0}}{\Gamma} = \frac{\gamma(1+j) \sqrt{\frac{w\mu}{2\gamma}}}{(1+j) \sqrt{\frac{w\mu\gamma}{2}}} H_{t0} = H_{t0}$$

$$\therefore Z_s = \frac{E_{t0}}{H_{t0}} = \eta_c = (1+j) \sqrt{\frac{w\mu}{2\gamma}} = R_s + jX_s$$

$R_s$ 为表面电阻， $X_s$ 为表面电抗，

$$R_s = X_s = \sqrt{\frac{w\mu}{2\gamma}} = \frac{1}{\gamma\delta}$$

$R_s$ 随频率增加而增加



# 损耗功率的计算

若  $d \gg \delta$ , 则进入导体内的透射波所携带的能量, 在传输过程中将全部被导体所吸收,

因此, 导体表面单位面积所吸收的平均功率 = 表面处的透射波的平均功率流密度

$$P_L = S_{av} |_{z=0}$$

设  $\eta_c = |\eta_c| e^{j\theta}$  对于良导体,  $\eta_c = (1+j)\sqrt{\frac{w\mu}{2\gamma}}$ ,  $|\eta_c| = \sqrt{\frac{w\mu}{\gamma}}$

$$\vec{S}_{av} = \vec{e}_z \frac{|E_{t0}|^2}{2|\eta_c|} e^{-2\alpha z} \cos\theta = \vec{e}_z \frac{|\eta_c| |H_{t0}|^2}{2} e^{-2\alpha z} \cos\theta$$

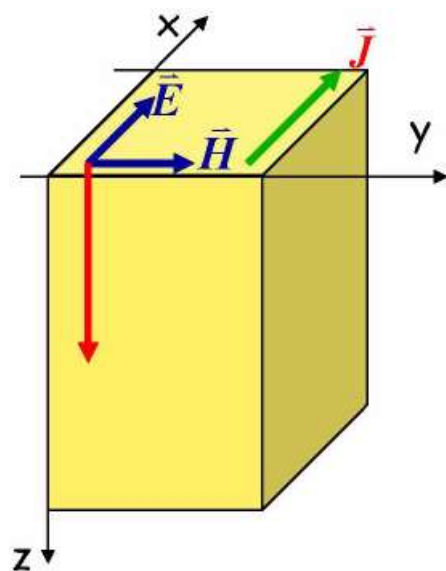
$$\approx \vec{e}_z \frac{1}{2} \sqrt{\frac{w\mu}{\gamma}} H_{t0}^2 e^{-2\alpha z} \cos\frac{\pi}{4} = \vec{e}_z \frac{1}{2} \sqrt{\frac{w\mu}{2\gamma}} H_{t0}^2 e^{-2\alpha z}$$

$$S_{av} |_{z=0} = \frac{1}{2} \sqrt{\frac{w\mu}{2\gamma}} H_{t0}^2 = \vec{e}_z \frac{1}{2} R_s H_{t0}^2$$

$$\because R_s = \frac{1}{\gamma\delta} = \sqrt{\frac{w\mu}{2\gamma}},$$

$$\text{且 } I = H_{t0}$$

$$\Rightarrow P_l = S_{av} |_{z=0} = \frac{1}{2} |I|^2 R_s$$



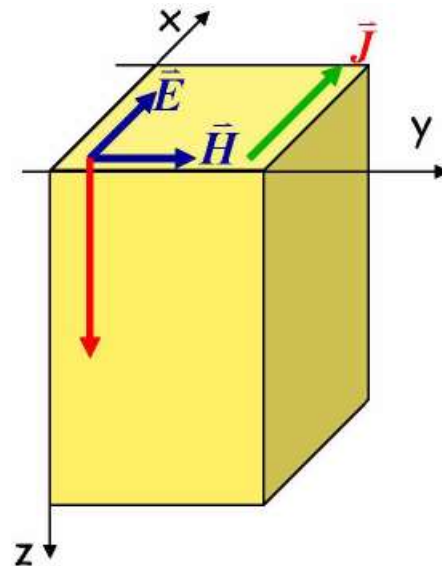
良导体单位面积表面上损耗的平均功率等于电流  $I$  在表面电阻  $R_s$  上损耗的平均功率

## 损耗功率的实际计算

$$P_l = S_{av} |_{z=0} = \frac{1}{2} |I|^2 R_s$$

$$\because I = H_{t0} \approx 2H_{i0}$$

$$\Rightarrow P_l = S_{av} |_{z=0} = \frac{1}{2} |I|^2 R_s = \frac{1}{2} |2H_{i0}|^2 R_s$$



作业:

**7.26 (1, 2, 5) ,  
7.29, 7.30, 7.36 7.38**